

① $\langle u \rangle (r=0) = 2 \text{ m/s}$ $\langle u \rangle (r=100 \text{ mm}) = 1,6 \text{ m/s}$
 $y = R - r$

(1) $\frac{u_{\text{max}} - \langle u \rangle}{u_r} = 5,75 \log_{10} (R/y)$ $\left[\frac{1}{\kappa} \ln(\cdot) = \frac{1}{\kappa} \frac{\log_{10}(\cdot)}{\log_{10}(e)} \right]$
 (oder $\frac{\langle u \rangle}{u_r} - \frac{u_{\text{max}}}{u_r} = 2,5 \ln y/R$) $\approx 2,5 \cdot 2,3 \log_{10}(\cdot)$
 $= 5,75 \log_{10}(\cdot)$

Im Skript ist zusätzlich der Term „1“ noch vorhanden (aus „älterer“ Literatur, ist auch o.k.)

(2) $\frac{\langle u \rangle - u_B}{u_r} = 5,75 \cdot \log_{10} (y/R) + 3,75$

(3) $\Rightarrow \boxed{u_{\text{max}} - u_B = 3,75 \cdot u_r}$ ①

In (1) u_{max} (bei $r=0$) ① einsetzen, sowie $1,6 \text{ m/s}$ bei $y = R - 0,1 \text{ m} \Rightarrow \boxed{u_r = 0,1458 \text{ m/s}}$ (bzw. $0,107 \frac{\text{m}}{\text{s}}$ falls obc. „1“)

in (3) $\Rightarrow \boxed{u_B = 1,4533 \text{ m/s}}$ ① $\Rightarrow \boxed{Q = u_B \cdot A = u_B \cdot \pi R^2 / 4 = 0,1027 \frac{\text{m}^3}{\text{s}}}$ ①

(2) erhalten wir aus (1) nach Integration über den Querschnitt

$$\underbrace{\frac{1}{A} \frac{1}{u_r} \int \langle u \rangle dA}_{u_B} - \frac{u_{\text{max}}}{u_r} = \frac{2,5}{A} \int_0^R \ln \left(\frac{R-r}{R} \right) 2\pi r dr$$

$(r/R := \eta, A = \pi R^2) = 2,5 \cdot 2 \int_0^1 \ln(1-\eta) 2\pi \eta d\eta$

$((1-\eta) := \xi, d\xi = -d\eta) = 5 \cdot (-1) \int_0^1 \ln \xi \cdot (1-\xi) d\xi$

$= +5 \int_0^1 \ln \xi d\xi - 5 \int_0^1 \xi \ln \xi d\xi$ ①

$= 5 \cdot \left[\xi \ln \xi \Big|_0^1 - \xi \Big|_0^1 - \frac{\xi^2}{2} \left(\ln \xi - \frac{1}{2} \right) \Big|_0^1 \right]$

Falls (3) auswendig: 4,5 P direkt oben.

(2)

287

$$\rho_L \pi R^2 - \rho_R \pi r^2 + \tau 2\pi R' dz = 0$$

$$\Rightarrow \tau = -\frac{4\rho}{l} \frac{r'}{2}$$

$$\Rightarrow \tau_w = -\frac{4\rho}{l} R' = 8\mu r' \quad \text{①}$$

$$\Rightarrow 4\rho = 2 \cdot 8\mu r' \cdot \frac{R}{2}$$

R' Integrationsgrenze bzw. Rand des Kontrollvolumens,
 $r' = r$ irgendwo im Gebiet,
 $R' = R$ an Wand

$$4\rho = 8\lambda \cdot \frac{u_B^2}{2} \frac{R}{D} \quad \text{(Strömungslehre)}$$

$$= 8\lambda \rho u_B^2 / 4R$$

Gleichsetzen: $\lambda = \frac{8\mu r'^2}{u_B^2}$

Gleichsetzen mit Angabe:

$$\frac{8\mu r'^2}{u_B^2} = 0,2655 \left(\frac{u_B R}{\nu} \right)^{-1/4} = 0,2655 \left(\frac{\nu}{u_B R} \right)^{1/4} \left(\frac{u_B}{u_B} \right)^{1/4}$$

$$\Rightarrow \left(\frac{u_B}{u_r} \right)^{7/4} = 30,13 \left(\frac{u_r R}{\nu} \right)^{1/4} \Rightarrow \frac{u_B}{u_r} = 7 \cdot Re_r^{1/7}$$

$u_B / u_{max} = 1,25$
 $\Rightarrow \frac{u_{max}}{u_r} \approx 8,75 \cdot Re_r^{1/7}$

(3)

a) Nicht unbedingt. Eine einfache Scherströmung besitzt bereits $\omega \neq 0$ ($\omega = \nabla \times \underline{u}$)

b) Nachlaufströmung, Grenzschicht, Freistrahle $j \cdot \text{①P}$

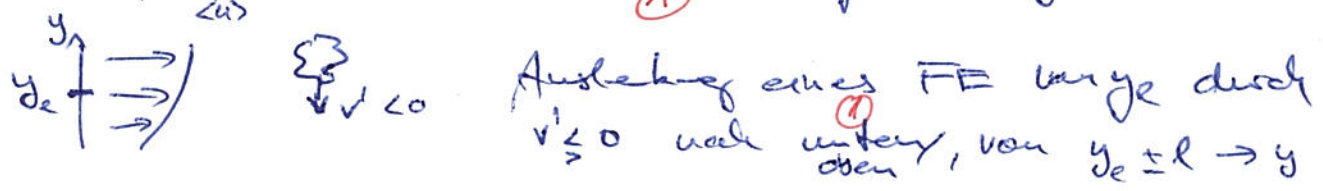
c) δ_z sei die Dicke der Grenzschicht $\Rightarrow \delta_z^+ = \delta_z \frac{u_r}{u} \approx 5-10$
 sagen wir 10; $\delta/x \sim \left(\frac{u_B x}{\nu} \right)^{-1/5}$, u_B hier Geschw. an Rand
 $\delta \approx 10 \cdot \nu^{1/5} \left(\frac{\nu}{u_B x} \right)^{1/5}$

$$= u_e^{9/10} \cdot x^{-1/10} \cdot \nu^{1/10} \quad (1)$$

$$\Rightarrow \delta_2 \approx \frac{10 \nu}{u_e} \approx u^{-9/10} \cdot \nu^{1/10} \quad (1)$$

d) Wenn $(?)$ Schließungsproblematis: in der Grenzschicht findet man immer Korrelationen, für die wiederum neue Transportgleichungen $(?)$ benötigt werden. Kaskade an Grenzschichten. Hier: Tripelkorrelationen treten auf. $(?)$

e) Skript S. 69. Schließungsannahme für $\langle u'v' \rangle$ indem diese Korrelation durch mittl. Größen ausgedrückt werden. $(?)$



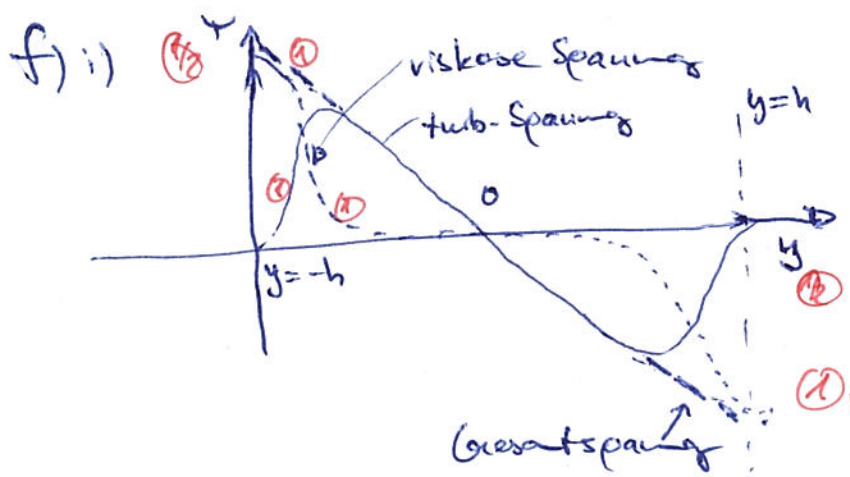
$$\langle u' \rangle \approx \langle u \rangle \pm l \frac{d\langle u \rangle}{dy} \quad (1)$$

Interpretierbar als Fluxmeter v'

Außerdem $|u'| \approx |v'| \quad (1/2)$

$$\Rightarrow -\rho \langle u'v' \rangle \approx \rho \nu^2 \left| \frac{d\langle u \rangle}{dy} \right| \frac{d\langle u \rangle}{dy} =: \mu_t \frac{d\langle u \rangle}{dy} \quad (1/2)$$

Vorzeichen, d.h. $(1/2)$



ii) Peaks wandern zur Wand hin, falls mit „+“ Einheit normiert, bleiben Peaks des Stresses an gleiche ort! $(?)$

$(?)$ für Antisymmetrie

Reynoldszahl: $Re_\nu = u_e \cdot h$

ii) $PDF(u)$ Wahrscheinlichkeit pro Elementlänge l in Ereignisraum 84

$$P(u \leq u < u + du) = PDF(u) du$$

$$\text{(oder } PDF(u) = \frac{dF(u)}{du}, \quad F(u) = CDF)$$

ii) Neben den "normalen" Schwankungen treten plötzliche starke Schwankungen ("bursts") auf, PDF hat hohe Flachheit, größer als 3 i.A. in Vergleich zur Normalverteilung.

iii) Schiefe $S = \frac{\langle (u - \langle u \rangle)^3 \rangle}{\sigma_u^3}$ Flachheit $F = \frac{\langle (u - \langle u \rangle)^4 \rangle}{\sigma_u^4}$

oder für Geschwindigkeitsfluktuation u'

$$S = \frac{\langle u'^3 \rangle}{\langle u'^2 \rangle^{3/2}}, \quad F = \frac{\langle u'^4 \rangle}{\langle u'^2 \rangle^2}$$

iv) PDF sollte möglichst ähnlich sein, hohe Flachheit, bzw. Schiefe deutet auf Probleme in der Strömung hin (Unebenheiten, Körner, Gitterdefekte etc.)

PDF₁ (höhere Schiefe) und PDF₂ (Flachheit) zeigen Abweichung von der Normalverteilung, sollte überprüft werden.



v)
$$\overline{T} = \frac{\langle u'^2 \rangle + \langle v'^2 \rangle + \langle w'^2 \rangle}{\langle u \rangle}$$
 z.B. $\langle \rangle$ Zeitmittelwert

Unterschiedlich an verschiedenen Positionen!

vi) Turbulenz wird schwächer entlang x-Achse \Rightarrow Ausdehnen

4a) $\frac{\partial A_{ij}}{\partial t} + \partial_k (u_k A_{ij}) = \partial_j b_i + \nu \partial_k C_{kij}$ 85

jeweils 1em

(1/2 A_{ij} und 1/2 C_{kij})

(1/2 b_i und 1/2 $\partial_j b_i$)

(1/2 $\partial_j b_i$ und 1/2 $\partial_k C_{kij}$ ist auch o.k. uwer)

$\partial_k u_k = 0$

①

b) $\partial_t \langle A_{ij} \rangle + \partial_k (\langle u_k \rangle \langle A_{ij} \rangle + \langle u_k' A_{ij}' \rangle) = \partial_j \langle b_i \rangle + \nu \partial_k \langle C_{kij} \rangle$

(A) 1/2 1/2 + 1 (Korrel.) 1/2 1/2

→ Teil 3/

Aufspalten der Gl. in 4a) ①

(B) $\partial_t [\langle \rangle + \langle \rangle'] + \partial_k [\langle u_k \rangle \langle A_{ij} \rangle + u_k' \langle A_{ij} \rangle + \langle u_k \rangle A_{ij}' + u_k' A_{ij}'] = \partial_j (\langle b_i \rangle + b_i') + \nu \partial_k (\langle C_{kij} \rangle + C_{kij}')$

→ Teil 3.5/

Differenz (B) - (A)

$\partial_t A_{ij}' + \partial_k [u_k' \langle A_{ij} \rangle + \langle u_k \rangle A_{ij}' + u_k' A_{ij}' - \langle u_k' A_{ij}' \rangle] = \partial_j b_i' + \nu \partial_k C_{kij}'$

→ Teil 3.5/

- c) 2.3. Korrelate, $\langle ab \rangle = \langle a(x,t) b(x,t) \rangle$ oder $\langle a_i(x_i, t_i) b_j(x_j, t_j) \rangle$
- 1) Transportgleichung ① für a , bzw b ,
also $\partial_t a = \dots$ und $\partial_t b = \dots$ (evtl. Flussgleichung bestimmen)
- 2) $\partial_t ab = a \partial_t b + b \partial_t a$ (Produktregel) ①
- 3) Mittelwert ①